

# شبیه‌سازی عددی مخازن هیدرورگربنی سه بعدی با استفاده از مدل نفت سیاه به روش اختلاف محدود ضمنی

روحیم محمدحسنی خواسانی (کارشناس ارشد)  
دانشکده فنی مهندسی، دانشگاه آزاد اسلامی واحد بهبهان

سیده‌هدی سیدنصرالله (بژوهشنه ارشد)  
بژوهشگاه صنعت نفت

مهوداد تقی‌زاده منظیری (استاد)  
سیامک کاظم‌زاده حنانی (استاد)  
دانشکده مهندسی مکانیک، دانشگاه صنعتی شریف

در این نوشتار با استفاده از مدل نفت سیاه، یک روش عددی برای شبیه‌سازی مخازن هیدرورگربنی سه بعدی ارائه شده است. در این راستا، سیال مخزن به صورت سه‌فازی - سه جزئی مدل سازی می‌شود، از اثر تغییرات دما صرف نظر می‌شود، تراکم پذیری سنگ مخزن و نیز اثر فشار مؤینگی لحاظ می‌شود. معادلات حاکم بر جریان برای هر دو حالت اشتعاع و زیر اشتعاع ارائه شده و اثر جملات مختلف آن تبیین می‌شود؛ سپس روش حل عددی اختلاف محدود که بر روی یک شبکه یاسازمان پیاده‌سازی شده به طور کامل تشریح می‌شود. روش عددی مورد استفاده از اختلاف مرکزی در مکان و روش اویلر پرسرو در زمان استفاده می‌کند. همچنین روش خطی سازی معادلات والگوریتم حل عددی ارائه می‌شود. برای ارزیابی روش حل پیشنهادی، دو مسئله نمونه مربوط به مخازن واقعی مشهور به SPE-۱ و SPE-۸ حل، و نتایج شبیه‌سازی با داده‌های موجود در متابع علمی مقایسه می‌شود. نتایج عددی حاصل حاکی از تطابق خوب این نتایج با نتایج حاصل از سایر شبیه‌سازها است.

وازگان کلیدی: جریان چندفازی، محیط متخالخل، روش اختلاف محدود ضمنی، شبیه‌سازی سه بعدی، مخازن هیدرورگربنی.

## مقدمه

ستاریوهای مختلف برداشت با هزینه‌یی ناچیز و به صورت مجازی، ستاریوه بهینه مطالعه‌ی جریان سیال در یک مخزن هیدرورگربنی کاری پیچیده است و به اطلاعات آزمایشگاهی متعددی نیاز دارد. از جمله‌ی این پیچیدگی‌ها می‌توان به ناهمگنی در تخلخل و تراوایی سنگ مخزن، چندفاز بودن سیال، پیچیدگی هندسی وجود ترک اشاره کرد. تهییی اطلاعات لازم برای شبیه‌سازی مستلزم همکاری گروهی از متخصصین رشته‌های مختلف شامل زمین‌شناسی، لرزه‌نگاری، مهندسی مخزن، ریاضی، ریانه و شبیه‌سازی است.<sup>[۱]</sup> معمولاً داده‌های مربوط به هر قسمت با همکاری دست کم دو گروه از متخصصین رشته‌های مختلف تعبیر و تفسیر می‌شود تا برای استفاده‌ی گروه‌های دیگر آماده شود. حجم این داده‌ها بسیار زیاد است و برای آن که بتوان از آن‌ها در عملیات شبیه‌سازی استفاده کرد، انجام عملیات ریاضی خاصی مورد نیاز است. از طرف دیگر رفتار سیال چندفازی موجود در

تاریخ: دریافت ۲۶/۳/۱۳۸۷، داوری ۲۲/۲/۱۳۸۸، پذیرش ۲۶/۸/۱۳۸۸.

یک متغیر اصلی باشد، حذف فاز آب از مخزن منجر به مشکلات عددی و غیرواقعی شدن شبیه‌سازی خواهد شد. از طرفی برخی از مجموعه متغیرهای اصلی شرایط معادلات را از نظر وابستگی به هم بهتر می‌سازند و لذا حل عددی آنها را تسهیل می‌کنند. استفاده از متغیر فشار عمومی یکی از این انتخاب‌هاست که در برخی شرایط بسیار مفید است.<sup>[۱]</sup> از سوی دیگر در مراجع مربوط به مخازن هیدرورکبرنی بیان ریاضی معادلات بهشیوه‌های مختلفی صورت گرفته که هریک مزایا و معایب خاص خود را دارند. در یکی از بهترین شیوه‌های مورد استفاده این معادلات به بروز شکل ماتریسی فشرده‌بی می‌شود.<sup>[۲]</sup>

در نوشتار حاضر از مدل نفت سیاه استفاده می‌شود که یک مدل سه‌维از و سه‌جزئی است. فازها عبارت‌اند از آبی و مایع و بخار که به ترتیب با علائم  $w$ ,  $o$  و  $n$  نشان داده می‌شوند و اجزاء عبارت‌اند از آب و نفت و گاز که به ترتیب با علائم  $G$ ,  $O$  و  $W$  نشان داده می‌شوند. در این مدل فاز آبی فقط حاوی آب خواهد بود و جزء آب تنها در این فاز حضور خواهد داشت. اما در فاز مایع و بخار، هر دو جزء نفت و گاز قابلیت حضور دارند. به عبارت دیگر نفت می‌تواند تبخیر و به فاز بخار وارد شود، و نیز گاز می‌تواند متراکم شود و به صورت میان در فاز مایع قرار گیرد. جزء نفت در واقع مایع باقی‌مانده از مخلوط هیدرورکبرنی در شرایط استاندارد (فشار اتمسفر و دمای  $60^{\circ}$  درجه فارنهایت است) و جزء گاز بقیه‌ی این مخلوط است.

روش‌های حل عددی جریان چندفاز در محیط متخالخل طیف گستردگی از روش‌ها را شامل می‌شوند. اگر فرایند «حل عددی» به دو قسمت تجزیه‌ی مکانی و تجزیه‌ی زمانی تقسیم شود، تفکیک روش‌ها آسان‌تر خواهد بود. در واقع برای تجزیه‌ی مکانی معادلات روش‌های اختلاف محدود، حجم محدود و اجزاء محدود کاربرد گستردگی می‌یابند.<sup>[۳]</sup> در این میان روش‌های تک‌پاره عرضه می‌شود. یکی از مهم‌ترین اهداف این تحقیقی، در وهله‌ی اول بومی‌سازی نرم‌افزارهای شبیه‌سازی، و سپس ارائه نسخه‌ی پردازش موازی آن به جامعه‌ی مهندسی مخزن کشور بوده است.

تحلیل جریان در محیط‌های متخالخل که اساس مطالعات شبیه‌سازی مخزن را تشکیل می‌دهد، با آزمایشات هاتری دارسی در ۱۸۴۶ آغاز شد. مدل دارسی برای جریان تک‌پاره در محیط متخالخل بی‌شک پرکاربردترین مدل در این شاخه از علوم بوده و علی‌رغم انجام برخی اصلاحات هنوز هم کاربرد گستردگی در مهندسی مخزن دارد. از جمله‌ی این اصلاحات، در نظر گرفتن چند فاز در کنار هم و به‌تبع آن لحاظ‌کردن اثر فشار موئینگی در مدل است که در مدل ارائه شده توسعه پیشمند (Peaceman) به آن اشاره شده است. در حقیقت مدل دارسی بک معادله‌ی سازگاری برای مرتبط‌ساختن شدت جریان با اختلاف فشار است. این رابطه باید در کنار معادلات بقای جرم اجرای سیستم و به همراه مدل‌های مربوط به فشار موئینگی و تراوایی مورد تحلیل قرار گیرد.<sup>[۴]</sup> در مراجع مربوط به جریان چندفاز مدل‌های متعددی برای فشار موئینگی و تراوایی وجود دارد که اکنون برای جریان‌های دوفاز تدوین شده اما بعداً به جریان‌های سه‌维از توسعه یافته‌اند.<sup>[۵]</sup> در مهندسی مخزن، اغلب در کنار مدل‌های فوق‌الذکر مدل‌هایی نیز برای ترک‌دار بودن مخزن، غیرنیوتی بودن سیال و اثرات دمایی باید به‌کار رود.<sup>[۶]</sup>

معادلات حاکم بر جریان در مخازن هیدرورکبرنی پیچیدگی‌های متعددی دارد. نخست آن که این معادلات به شدت به هم وابسته‌اند و هرگونه خطأ در حل یکی از معادلات به داخل معادلات دیگر منتشر می‌شود. دوم این که مخزن در حین مرحله تولید ممکن است شرایط مختلفی را تجربه کند، و مثلاً از حالت زیتابیاع به حالت اشباع یا برعکس تغیر وضع دهد. سومین پیچیدگی مربوط به ویرگی معادلات دیفرانسیل حاکم بر جریان است بدین صورت که با تغییر در شرایط فیزیکی مسئله، ممکن است نوع معادلات عوض شود و مثلاً از شکل بیضوی به سهموی یا از سهموی به هذلولوی تبدیل شوند. این مشکلات، حل عددی معادلات حاکم را دوچندان دشوار می‌سازد. عامل کنترل‌کننده‌ی بسیار مهم در این امر، انتخاب نوع متغیرهای اصلی مسئله است. انواع مختلف متغیرها و مزایا و معایب مربوط به

هر دسته از متغیرهای اصلی توسط محققین بررسی شده و معيارهای مفیدی برای

تصسیم‌گیری در این خصوص ارائه شده است.<sup>[۷,۸]</sup> از جمله‌ی این معيارها، عدم

حذف اثر یک متغیر فیزیکی در حین حل مسئله است. مثلاً اگر فشار آب مخزن

مخزن به دلیل اندرکنش‌های متعدد بین فازها و سنگ، و نیز تأثیر امتزاج پذیری در رفتار فازی این سیال پیچیدگی خاصی دارد و نیازمند طیف گسترده‌بی از آزمایشات است. هرگونه عیب و نقص در داده‌های مذکور منجر به ورود خطأ در عمل شبیه‌سازی می‌شود و اعتبار نتایج را به مخاطره می‌اندازد. در این نوشتار به منظور دوری جستن از این مشکل، دو مسئله‌ی مدل  $(1^-)$  و  $(SPE^-)$  که داده‌های مربوط به آنها به طور گستردگی در سطح بین‌المللی مورد تأیید و استفاده قرار گرفته، تحت بررسی قرار می‌گیرد.<sup>[۹]</sup>

شبیه‌سازی جریان چندفاز در محیط متخالخل در دو دهه‌ی اخیر به طور گستردگی مورد توجه محققین قرار گرفته است.<sup>[۱۰]</sup> با افزایش قدرت و سرعت رایانه‌ها، شبیه‌سازی در زمینه‌ی مهندسی مخازن جایگاه مهمی پیدا کرده و امروزه نرم‌افزارهای تجاری مختلفی در این زمینه موجود است. مشکل اصلی این نرم‌افزارها هزینه‌ی بالای آنها و مخفی بودن لایه‌های تحلیل فیزیکی و ریاضی در آنهاست. به علاوه چنانچه مهندسین بخواهند از آنها برای کار بهینه‌سازی بهره بگیرند، سرعت محاسباتی کافی را در اختیار نخواهند داشت. این در حالی است که نسخه‌ی پردازش موازی این نرم‌افزارها بسیار گران است و معمولاً در اختیار مشتریان قرار نمی‌گیرد، بلکه خدمات این کار به صورت مشاوره عرضه می‌شود. یکی از مهم‌ترین اهداف این تحقیقی، در وهله‌ی اول بومی‌سازی نرم‌افزارهای شبیه‌سازی، و سپس ارائه نسخه‌ی پردازش موازی آن به جامعه‌ی مهندسی مخزن کشور بوده است.

تحلیل جریان در محیط‌های متخالخل که اساس مطالعات شبیه‌سازی مخزن را تشکیل می‌دهد، با آزمایشات هاتری دارسی در ۱۸۴۶ آغاز شد. مدل دارسی برای جریان تک‌پاره در محیط متخالخل بی‌شک پرکاربردترین مدل در این شاخه از علوم بوده و علی‌رغم انجام برخی اصلاحات هنوز هم کاربرد گستردگی در مهندسی مخزن دارد. از جمله‌ی این اصلاحات، در نظر گرفتن چند فاز در کنار هم و به‌تبع آن لحاظ‌کردن اثر فشار موئینگی در مدل است که در مدل ارائه شده توسعه پیشمند (Peaceman) به آن اشاره شده است. در حقیقت مدل دارسی بک معادله‌ی سازگاری برای مرتبط‌ساختن شدت جریان با اختلاف فشار است. این رابطه باید در کنار معادلات بقای جرم اجرای سیستم و به همراه مدل‌های مربوط به فشار موئینگی و تراوایی مورد تحلیل قرار گیرد.<sup>[۱۱]</sup> در مراجع مربوط به جریان چندفاز مدل‌های متعددی برای فشار موئینگی و تراوایی وجود دارد که اکنون برای جریان‌های دوفاز تدوین شده اما بعداً به جریان‌های سه‌维از توسعه یافته‌اند.<sup>[۱۲]</sup> در مهندسی مخزن، اغلب در کنار مدل‌های فوق‌الذکر مدل‌هایی نیز برای ترک‌دار بودن مخزن، غیرنیوتی بودن سیال و اثرات دمایی باید به‌کار رود.<sup>[۱۳]</sup>

معادلات حاکم بر جریان در مخازن هیدرورکبرنی پیچیدگی‌های متعددی دارد. نخست آن که این معادلات به شدت به هم وابسته‌اند و هرگونه خطأ در حل یکی از معادلات به داخل معادلات دیگر منتشر می‌شود. دوم این که مخزن در حین مرحله تولید ممکن است شرایط مختلفی را تجربه کند، و مثلاً از حالت زیتابیاع به حالت اشباع یا برعکس تغیر وضع دهد. سومین پیچیدگی مربوط به ویرگی معادلات دیفرانسیل حاکم بر جریان است بدین صورت که با تغییر در شرایط فیزیکی مسئله، ممکن است نوع معادلات عوض شود و مثلاً از شکل بیضوی به سهموی یا از سهموی به هذلولوی تبدیل شوند. این مشکلات، حل عددی معادلات حاکم را دوچندان دشوار می‌سازد. عامل کنترل‌کننده‌ی بسیار مهم در این امر، انتخاب نوع متغیرهای اصلی مسئله است. انواع مختلف متغیرها و مزایا و معایب مربوط به

هر دسته از متغیرهای اصلی توسط محققین بررسی شده و معيارهای مفیدی برای تصسیم‌گیری در این خصوص ارائه شده است.<sup>[۱۴]</sup> از جمله‌ی این معيارها، عدم

حذف اثر یک متغیر فیزیکی در حین حل مسئله است. مثلاً اگر فشار آب مخزن

بودن به کار می رود که در آن  $R_{so}$  نسبت حل شدن گاز در نفت اشباع است:

$$N_G > R_{so} N_O \quad \text{سه فاز} \quad (10)$$

$$N_G \leq R_{so} N_O \quad \text{دو فاز} \quad (11)$$

شیوه محاسبه خواص در حالت اشباع (سه فاز) عبارت است از:

$$R_o = R_{so} \quad (12)$$

$$\rho_g = \frac{\rho_{GS}}{B_g} \quad (13)$$

$$\rho_o = \frac{\rho_{OS} + R_{so}\rho_{GS}}{B_{so}} \quad (14)$$

$$\rho_w = \frac{\rho_{WS}}{B_w} = \rho_{WS} b_w \quad (15)$$

$$S_g = B_g(N_G - R_{so}N_O) \quad (16)$$

$$S_o = B_{so}N_O \quad (17)$$

$$S_w = B_w N_W = 1 - S_g - S_o \quad (18)$$

$$N_W = [1 - (B_{so} - B_g R_{so})N_O - B_g N_G] b_w \quad (19)$$

و در حالت زیر اشباع (دو فاز آب و نفت) نیازمند محاسبه می شوند:

$$R_o = \frac{N_G}{N_O} \quad (20)$$

$$B_o = B_{do} + (B_{so}^* - B_{do}^*) \frac{R_o}{R_{so}} \quad (21)$$

$$S_o = B_o N_O \quad (22)$$

$$S_w = B_w N_W = 1 - S_o \quad (23)$$

$$N_W = (1 - B_o N_O) b_w \quad (24)$$

$\rho_o$  و  $\rho_w$  مانند حالت سه فاز و از رابطه های ۱۴ و ۱۵ محاسبه می شوند. تغییر تخلخل فقط به صورت تابعی از فشار مخزن بیان می شود:

$$\phi = \phi(1 + c_\phi P_w) \quad (25)$$

که در آن  $c_\phi$  ضریب تراکم بدیری سنگ است. در مورد مدل تراوایی و فشار موئینگی مورد استفاده، در ادامه توضیح داده خواهد شد.

## روش حل عددی

روش تجزیه مکانی مورد استفاده در این نوشتار روش اختلاف محدود است که بر روی یک شبکه یا سازمان پیاده سازی می شود. معادلات دیفرانسیل مشتقات جزی ۱ تا ۳ به کمک روش اختلاف محدود مرکزی گسترش سازی شده که براساس آن ثابت های گزدرهی بیان، و متغیرهای  $P_W$ ,  $N_O$ ,  $N_G$  به عنوان مجهولات اولیه انتخاب شده اند.<sup>[۱۰]</sup> به منظور دست یابی به پایداری حل عددی، جملات انتقال توسط فرمول بندی بالادستی برای مقادیر روی لبه سلول ها به کار می رود. همچنین گسترش سازی در زمان به کمک روش «اوپار پرسرو» انجام می شود. پس از انجام دستگاه معادلات خطی حاصل به کمک یک روش مناسب حل می شود. این عمل در هر گام زمانی تکرار می شود.<sup>[۷]</sup>

غیرخطی به دست آمده استفاده می شود. اعتبار روش به کمک حل دو مسئله هی نمونه سنجیده می شود. مسئله اول شبیه سازی تزریق گاز در یک مخزن واقعی است که اجزاء آن را نفت و آب تشکیل می دهد، و مسئله دوم مربوط به تزریق گاز در مخزنی است که فقط با نفت پر شده است. نتایج هر دو مسئله با نتایج موجود در مقالات مقایسه شده است. در ادامه نوشتار ابتدا معادلات حاکم بر جریان سیال در مخزن بیان خواهد شد و پس از آن با تشریح شکل گسترش سازی شده معادلات، روش عددی به کار رفته تشریح می شود. در انتهای نتایج حاصل از حل عددی دو مسئله ای نمونه ارائه می شود.

## معادلات حاکم

معادلات بقای جرم برای سه جزء آب، نفت و گاز عبارت اند از:

$$\frac{\partial(\phi N_W)}{\partial t} = -\nabla \cdot U_W + q_W \quad (1)$$

$$\frac{\partial(\phi N_O)}{\partial t} = -\nabla \cdot U_O + q_O \quad (2)$$

$$\frac{\partial(\phi N_G)}{\partial t} = -\nabla \cdot (U_G + R_O U_O) + q_G \quad (3)$$

در این رابطه ها  $\phi$  ضریب تخلخل،  $N_M$  غلظت جزء  $M$  در فضای خالی المان،

$$U_M$$
 دبی جرمی جزء  $M$  بر واحد سطح،  $q_M$  نزخ جرمی تزریق برای جزء  $M$ ،  $R_o$  نسبت حل شدن گاز در نفت، و زمان  $t$  هستند. از قانون دارسی برای مدل نفت سیاه می توان به منظور محاسبه سرعت جرمی هر جزء در فاز متناظر آن بهره جست.<sup>[۱۰]</sup>

که با فرض در نظر گرفتن گرانش و ثابت بودن گران روی سیال چنین خواهد بود:

$$U_W = -\frac{K k_{rw}}{B_w \mu_w} (\nabla P_w - \rho_w g \nabla D) \quad (4)$$

$$U_O = -\frac{K k_{ro}}{B_o \mu_o} (\nabla P_o - \rho_o g \nabla D) \quad (5)$$

$$U_G = -\frac{K k_{rg}}{B_g \mu_g} (\nabla P_g - \rho_g g \nabla D) \quad (6)$$

در این رابطه ها  $K$  نفوذ پذیری مطلق،  $k_{rm}$  نفوذ پذیری نسبی،  $P_m$  فشار،  $\rho_m$  چگالی،  $\mu_m$  لزنت و  $B_m$  ضریب تشکیل حجمی فاز  $m$  هستند. همچنین  $D$  نشا نگر عمق نسبت به یک مبدأ معین، و  $g$  شتاب ثقل است. به دلیل وجود تعادل حجمی، درجات اشباع فازها که بیان نگر نسبت حجمی فاز به حجم کل هستند باید معادله ۷ را ارضاء کنند:

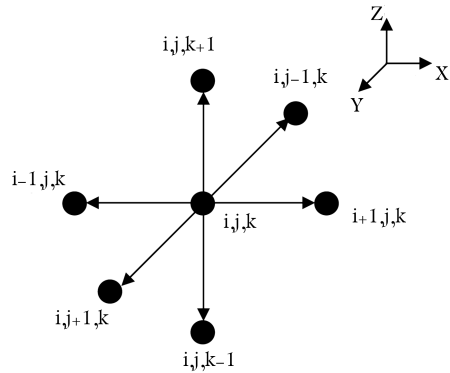
$$S_w + S_o + S_g = 1 \quad (7)$$

که در آن  $S_w$ ,  $S_o$  و  $S_g$  به ترتیب درجه ای اشباع فازهای آب، نفت و گاز هستند. ارتباط بین فشار فازها از طریق فشار موئینگی به صورت تابعی از درجه ای اشباع برقار می شود. بدین ترتیب فشار موئینگی بین فازهای نفت و آب ( $P_{cow}$ ) و فشار موئینگی بین فازهای گاز و نفت ( $P_{cgo}$ ) چنین تعیین می شوند:

$$P_{cow}(S_w) = P_o - P_w \quad (8)$$

$$P_{cgo}(S_g) = P_g - P_o \quad (9)$$

در اینجا فرض براین است که نفت در تماس آب و نفت، و گاز در تماس گاز و نفت فاز غیر ترکمنده است. معیار زیر برای تعیین حالت سیال از نظر زیر اشباع یا اشباع



شکل ۱. طریقه شماره‌گذاری شبکه.

برای ساده‌شدن روابط، حجم المان  $V_{ijk}$  را در آنها ضرب می‌کنیم و باقی مانده‌ها را برای معادلات بقای جرم به دست می‌آوریم:

$$R_{W,ijk}^K = V_{ijk} \left\{ (\phi N_W)_{ijk}^K - (\phi N_W)_{ijk}^n + \Delta t_{n+1} [\nabla \cdot U_W - q_W]_{ijk}^K \right\} \quad (32)$$

$$R_{O,ijk}^K = V_{ijk} \left\{ (\phi N_O)_{ijk}^K - (\phi N_O)_{ijk}^n + \Delta t_{n+1} [\nabla \cdot U_O - q_O]_{ijk}^K \right\} \quad (33)$$

$$R_{G,ijk}^K = V_{ijk} \left\{ (\phi N_G)_{ijk}^K - (\phi N_G)_{ijk}^n + \Delta t_{n+1} [\nabla \cdot (U_G + R_o U_O) - q_G]_{ijk}^K \right\} \quad (34)$$

مؤلفه‌ی سرعت جرم برای جزء  $M$  با استفاده از طرح اختلاف محدود مرکزی در مکان، گسسته‌سازی می‌شود:

$$\begin{aligned} \Delta t_{n+1} V_{ijk} (\nabla \cdot U_M)_{ijk}^K &= -\lambda_{m,i+1/2,jk}^K \\ &\left[ P_{m,i+1,jk}^K - P_{m,ijk}^K - \rho_{m,i+1/2,jk}^K g (D_{i+1,jk} - D_{ijk}) \right] \\ &+ \lambda_{m,i-1/2,jk}^K \\ &\left[ P_{m,ijk}^K - P_{m,i-1,jk}^K - \rho_{m,i-1/2,jk}^K g (D_{ijk} - D_{i-1,jk}) \right] \quad (35) \\ &+ z_j \end{aligned}$$

جملات مشابه در راستاهای  $y$  و  $z$  همچنین جمله‌ی ناشی از سرعت نفت در معادله‌ی گاز عبارت خواهد بود از:

$$\begin{aligned} \Delta t_{n+1} V_{ijk} [\nabla \cdot (R_o U_O)]_{ijk}^K &= -R_{o,i+1/2,jk} \lambda_{o,i+1/2,jk}^K \\ &\left[ P_{o,i+1,jk}^K - P_{o,ijk}^K - \rho_{o,i+1/2,jk}^K g (D_{i+1,jk} - D_{ijk}) \right] \\ &+ R_{o,i-1/2,jk} \lambda_{o,i-1/2,jk}^K \\ &\left[ P_{o,ijk}^K - P_{o,i-1,jk}^K - \rho_{o,i-1/2,jk}^K g (D_{ijk} - D_{i-1,jk}) \right] \quad (36) \end{aligned}$$

جملات مشابه در راستاهای  $y$  و  $z$  براساس آنچه بیان شد حل معادلات دیفرانسیلی بقای جرم ۱ تا ۳ منجر به حل دستگاه غیرخطی باقی مانده‌ها می‌شود:

$$\left\{ R_{W,ijk} = 0 \right. \quad (37)$$

$$\left\{ R_{O,ijk} = 0 \right. \quad (38)$$

$$\left\{ R_{G,ijk} = 0 \right. \quad (39)$$

این رابطه‌ها توابعی از فشار، سرعت و درجه‌ی اشباع هریک از فازها هستند. دستگاه فوق به شدت غیرخطی است و ضرورت دارد قبل از انجام حل عددی به‌گونه‌ی مناسب خطی‌سازی شود. در ادامه به تشریح روند این کار می‌پردازیم.

### روش خطی‌سازی نیوتن

با استفاده از روش خطی‌سازی نیوتن، معادلات غیرخطی ۳۷ تا ۳۹ که به شکل کلی  $\circ = \vec{R}_{M,ijk}$  است به معادله‌ی  $\circ = \vec{R}(\vec{s}^K)$  تبدیل می‌شود:

$$J(\vec{s}^K) \delta \vec{s}^K = -\vec{R}(\vec{s}^K) \quad (40)$$

در اینجا تعدادی از پارامترها که در ادامه بحث گسسته‌سازی مورد نیاز است به ترتیب معرفی می‌شوند. مطابق شکل ۱ اندیس‌های  $i, j$  و  $k$  به سلول  $i,j,k$  بالاًنویس  $n$  به گام زمانی  $\Delta t_n$ ، و بالاتویس  $K$  به امین تکرار برای رسیدن به زمان  $t_n + 1$  اشاره دارند.  $\Delta t = t_{n+1} - t_n$  بیان‌گر گام زمانی است.  $V_{ijk}$  برابر حجم سلول  $i,j,k$  می‌باشد و  $\Delta x_i$ ،  $\Delta y_j$  و  $\Delta z_k$  طول اضلاع سلول مکعب مستطیلی  $i,j,k$  هستند.

در این نوشتار توازن بالادستی مرتبه‌ی اول برای ضرایب حرکت ( $\lambda$ ) و نسبت گاز به نفت ( $R_o$ ) به صورت زیر به کار رفته است:

$$\lambda_{m,i+1/2,jk}^K = \Delta t_{n+1} A_{i+1/2,jk} \left( \frac{k_{rm}}{B_m \mu_m} \right)_{sjk}^K \quad (26)$$

$$R_{o,i+1/2,jk}^K = R_{o,sjk}^K \quad (27)$$

به‌طوری که

$$\begin{cases} P_{m,i,jk}^K \geq P_{m,i+1,jk}^K & \text{اگر } s = i \\ P_{m,i,jk}^K < P_{m,i+1,jk}^K & \text{اگر } s = i + 1 \end{cases} \quad (28)$$

این رابطه‌ها برای راستاهای  $y$  و  $z$  نیز به‌ساندگی قابل تعیین‌اند. ثابت‌های گذردهی در مرز سلول‌ها مطابق رابطه‌های ۲۶ تا ۳۱ محاسبه می‌شوند:

$$A_{i+1/2,jk} = 2 \Delta y_j \Delta z_k \left( \frac{\Delta x_i}{K_{xx,ijk}} + \frac{\Delta x_{i+1}}{K_{xx,i+1,jk}} \right)^{-1} \quad (29)$$

$$A_{i,j+1/2,k} = 2 \Delta z_k \Delta x_i \left( \frac{\Delta y_j}{K_{yy,ijk}} + \frac{\Delta y_{j+1}}{K_{yy,i,j+1,k}} \right)^{-1} \quad (30)$$

$$A_{ij,k+1/2} = 2 \Delta x_i \Delta y_j \left( \frac{\Delta z_k}{K_{zz,ijk}} + \frac{\Delta z_{k+1}}{K_{zz,ij,k+1}} \right)^{-1} \quad (31)$$

که در آن  $K_{xx}$ ،  $K_{yy}$  و  $K_{zz}$  جملات قطری تانسور تراوایی (نفوذپذیری) هستند. در واقع برای برقراری بقای جرم، یک میانگین هارمونیک برای مقدار نفوذپذیری بین دو سلول به کار رفته است. در ادامه این بخش جزئیات محاسباتی مربوط به تشکیل معادلات گسسته‌سازی شده ارائه می‌شود.

### تشکیل باقی مانده‌ها

برای تشکیل شکل گسسته‌ی معادلات، در هریک از معادلات بقای جرم ابتدا مشتقه زمانی به صورت اختلاف پسرو تجزیه، و معادله‌ی مربوطه در زمان  $t_{n+1}$  بیان می‌شود.

که در آن

$$\vec{s}^{k+1} = \vec{s}^K + \delta \vec{s}^K \quad (41)$$

در معادله‌ی ۴۰  $K$  نشان‌دهنده‌ی تکرار  $K$  ام در هر گام زمانی است و بردارهای  $\vec{s}$  و  $\vec{R}$  نیز به ترتیب در پرگیرنده‌ی مجهولات اولیه، بردار تصحیح و باقی‌مانده‌ها هستند؛ ماتریس  $J$  نیز ماتریس ژاکوبین است. این ماتریس‌ها برای یک المان چنین به دست می‌آیند:

$$\vec{s} = \begin{bmatrix} P_w \\ N_O \\ N_G \end{bmatrix} \quad (42)$$

$$\vec{R}(\vec{s}) = \begin{bmatrix} R_W(\vec{s}) \\ R_O(\vec{s}) \\ R_G(\vec{s}) \end{bmatrix} \quad (43)$$

$$J(\vec{s}) = \begin{bmatrix} \frac{\partial R_W}{\partial P_w} & \frac{\partial R_W}{\partial N_O} & \frac{\partial R_W}{\partial N_G} \\ \frac{\partial R_O}{\partial P_w} & \frac{\partial R_O}{\partial N_O} & \frac{\partial R_O}{\partial N_G} \\ \frac{\partial R_G}{\partial P_w} & \frac{\partial R_G}{\partial N_O} & \frac{\partial R_G}{\partial N_G} \end{bmatrix} \quad (44)$$

هر یک از مشتقات جزئی در ماتریس ژاکوبین از طریق محاسبه‌ی مشتق کامل مقادیر باقی‌مانده نسبت به مجهولات اولیه به دست می‌آید. شایان ذکر است که تمامی این مشتقات به صورت تحلیلی محاسبه شده‌اند.<sup>[۱۰]</sup>

مقادیر باقی‌مانده شامل سه جمله‌ی انباشتگی  $V_{ijk}\{(φN_M)_{ijk}^K - (φN_M)_{ijk}^n\}$  هستند.  $V_{ijk}\Delta t_{n+1}q_{M,ijk}^K = V_{ijk}\Delta t_{n+1}\nabla \cdot U_{M,ijk}^K$  و چاهه شده‌اند. طرز محاسبه‌ی مقادیر داخل کروشه عبارت است از:<sup>[۱۰]</sup> جملات انباشتگی:

$$\begin{aligned} Δ(φN_W)_{ijk}^{n+1} &= \left( φ \frac{\partial N_W}{\partial N_O} \right)_{ijk}^K ΔN_{O,ijk}^{n+1} + \left( φ \frac{\partial N_W}{\partial N_G} \right)_{ijk}^K \\ &\quad ΔN_{G,ijk}^{n+1} + \left( c_φ φ_z N_W + φ \frac{\partial N_W}{\partial P_w} \right)_{ijk}^K ΔP_{w,ijk}^{n+1} \end{aligned} \quad (45)$$

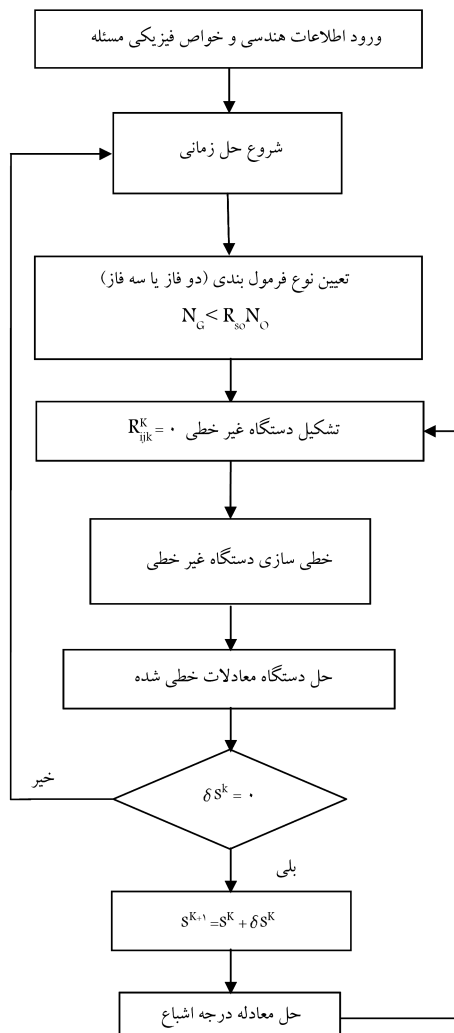
$$Δ(φN_G)_{ijk}^{n+1} = φ_{ijk} ΔN_{G,ijk}^{n+1} + c_φ φ_z_{ijk} N_{G,ijk}^K ΔP_{w,ijk}^{n+1} \quad (46)$$

$$Δ(φN_O)_{ijk}^{n+1} = φ_{ijk} ΔN_{O,ijk}^{n+1} + c_φ φ_z_{ijk} N_{O,ijk}^K ΔP_{w,ijk}^{n+1} \quad (47)$$

جملات انتقال:

$$\begin{aligned} Δt_{n+1}V_{ijk}Δ(∇ · U_M)_{ijk}^{n+1} &= -Δλ_{m,i+1/2,jk}^{n+1} \\ [P_{m,i+1,jk}^K - P_{m,ijk}^K - ρ_{m,i+1/2,jk}^K g(D_{i+1,jk} - D_{ijk})] \\ + Δλ_{m,i-1/2,jk}^{n+1} &= \\ [P_{m,ijk}^K - P_{m,i-1,jk}^K - ρ_{m,i-1/2,jk}^K g(D_{ijk} - D_{i-1,jk})] \\ - λ_{m,i+1/2,jk}^K &= \\ [ΔP_{m,i+1,jk}^{n+1} - ΔP_{m,ijk}^{n+1} - Δρ_{m,i+1/2,jk}^{n+1} g(D_{i+1,jk} - D_{ijk})] \\ + λ_{m,i-1/2,jk}^K &= \\ [ΔP_{m,ijk}^{n+1} - ΔP_{m,i-1,jk}^{n+1} - Δρ_{m,i-1/2,jk}^{n+1} g(D_{ijk} - D_{i-1,jk})] \end{aligned} \quad (48)$$

بنابر توضیحات ارائه شده، روند کلی حل مسئله مطابق شکل ۲ خواهد بود که درواقع



شکل ۲. الگوریتم کلی روش حل عددی.

روندی کاملاً ضمنی است و در آن فشار و سرعت هر سلول به صورت همزمان محاسبه می‌شود. روش حل مسئله در زمان  $t_n$  ابتدا با در نظر گرفتن یک گام زمانی جدید ( $Δt$ ) آغاز می‌شود. سپس مقادیر باقی‌مانده‌ی دستگاه معادلات یعنی بردار  $\vec{R}$  محاسبه، و دستگاه خطی شده با روش‌های تکرار حل می‌شود و نهایتاً بردار  $\vec{s}$  به دست می‌آید. چنانچه این بردار، که شامل سه مقدار  $\delta N_O, \delta N_G, \delta P_W$  است، به اندازه‌ی کافی کوچک نباشد در مرحله‌ی بعد مقادیر مجهول مسئله اصلاح می‌شود و در یک تکرار جدید معادله‌ی درجه‌ی اشباع، که مجهول آن درجه‌ی اشباع آب است، حل می‌شود و مجدداً دستگاه خطی شده نیز حل خواهد شد. این روند تا جایی ادامه می‌یابد که  $Δt$  به اندازه‌ی کافی به صفر نزدیک شود یا تعداد تکرارها از یک مقدار بیشترین تجاوز کند که در این صورت گام زمانی نصف شده و عملیات حل مشابه قبل تکرار می‌شود. در هر مرحله از گام زمانی نیز برای بررسی وجود فاز گاز، غلظت جزء گاز با مقدار حل شده در فاز نفت مقایسه می‌شود تا در هر سلولی که فاز گاز وجود ندارد از فرمول بندی مربوط به حالت دوفازی استفاده شود.

باید تأکید کرد که چون فرمول بندی عددی مورد استفاده در اینجا از نوع ضمنی است لذا روش دارای پایداری غیرمشروط است و به لحاظ نظری محدودیتی بر روی

اندازه‌ی گام زمانی وجود ندارد، هرچند که در عمل برای دست‌یابی به دقیق مورد نظر لازم است اندازه‌ی گام زمانی از حدوداً یک روز کوچک‌تر باشد.

### مدل نفوذپذیری نسبی و فشار مویینگی

یکی از چالش‌های شبیه‌سازی جریان در محیط متخلخل تخمین رابطه‌ی نفوذپذیری نسبی هریک از فازهاست که در جریان سه‌فازی این روابط براساس ترکیب مدل‌های SPRSim حالت دوفازی است. در شبیه‌ساز تهیه شده برای این تحقیق، از شبیه‌ساز SPRSim به عنوان مدل پیش‌فرض استفاده شده است<sup>[۱]</sup>.

$$k_{ro} = \frac{(1 - S_g - S_w) k_{rog} k_{row}}{(1 - S_g)(1 - S_w)} \quad (۴۹)$$

$$k_{rw} = S_w^r \quad (۵۰)$$

$$k_{rg} = S_g^r \quad (۵۱)$$

$$k_{row} = (1 - S_w)^r \quad (۵۲)$$

$$k_{rog} = (1 - S_g)^r \quad (۵۳)$$

### حل مسائل نمونه

در اینجا برای ارزیابی قابلیت‌ها و دقیق شبیه‌ساز تهیه شده، به حل دو مسئله‌ی نمونه که نتایج حل عددی آن به طور وسیع انتشار یافته، پرداخته می‌شود و پاسخ‌های به دست آمده از شبیه‌ساز SPRSim با نتایج برخی از شبیه‌سازهای تجاری موجود مقایسه می‌شود.

#### الف) مسئله‌ی نمونه‌ی مخزن واقعی SPE-۱

اولین مسئله‌ی که در این بخش حل می‌شود، یک مسئله مخزن واقعی است<sup>[۱]</sup> که نتایج حل‌های عددی گوناگون از شرکت‌های مختلف برای آن موجود است. شکل‌های ۳ و ۴ و جدول ۱ ابعاد، خصوصیات فیزیکی لایه‌های مختلف مخزن و موقعیت چاه‌های تزریق و برداشت و همچنین شبکه‌بندی مسئله را نشان می‌دهند. مسئله

در رابطه با مدل فشار مویینگی نیز، به دلیل این که برای تخمین فشار مویینگی رابطه‌ی ریاضی مشخصی وجود ندارد و روند تغییرات فشار مویینگی بر حسب درجه‌ی اشباع شدیداً به کل شرایط مخزن و ترکیب دقیق سیال حساس است؛ از این رو در همه‌ی موارد برای تخمین این مقدار از همبستگی‌های تجربی استفاده می‌شود که شبیه‌ساز SPRSim تیز به همین ترتیب عمل می‌کند و در هر شبیه‌سازی نیازمند رابطه تجربی مناسب است.

#### مدل سازی چاه‌ها

برای شبیه‌سازی چاه، از مدل چاه پیسمن استفاده شده است<sup>[۲]</sup>. بر این اساس، از  
حجمی جریان فاز  $m$  ( $w$ ,  $o$  یا  $g$ ) از دهانه‌ی چاه به سلول مربوطه برابر است با:

$$Q_m = \frac{GLK k_m}{\mu_m} (P_{wb} - P_m) \quad (۵۴)$$

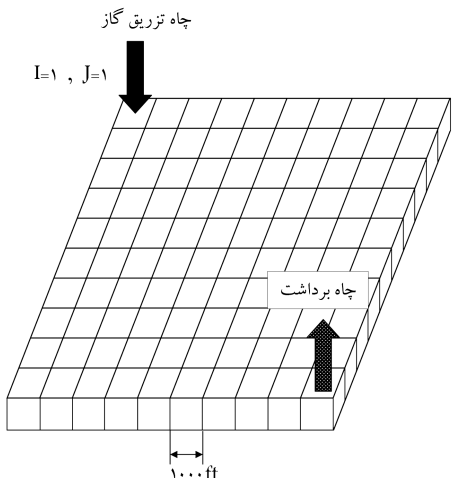
که در آن  $P_{wb}$  فشار هیدروستاتیک دهانه‌ی چاه،  $P_m$  فشار فاز  $m$  در سلول،  $K$  نفوذپذیری مطلق سلول،  $L$  طول چاه در سلول و  $G$  ضریب هندسی بدون بعدی است که محاسبه‌ی آن چنین انجام می‌شود:

$$G = \frac{2\pi}{\ln\left(\frac{r_{eq}}{r_w}\right) + s} \quad (۵۵)$$

در این رابطه  $s$  ضریب سطح  $r_w$  شعاع دهانه‌ی چاه و  $r_{eq}$  شعاع معادل مرکز سلول است. با فرض این که چاه تمام ضخامت سلول را پوشش دهد، با استفاده از مدل پیسمن،  $r_{eq}$  در صفحه‌ی  $x - y$  معادل است با:

$$r_{eq} = \sqrt[4]{\frac{\left[ (\Delta x)^r \left( \frac{k_y}{k_x} \right)^{\frac{1}{r}} + (\Delta y)^r \left( \frac{k_x}{k_y} \right)^{\frac{1}{r}} \right]^{\frac{1}{r}}}{\left( \frac{k_y}{k_x} \right)^{\frac{1}{r}} + \left( \frac{k_x}{k_y} \right)^{\frac{1}{r}}}} \quad (۵۶)$$

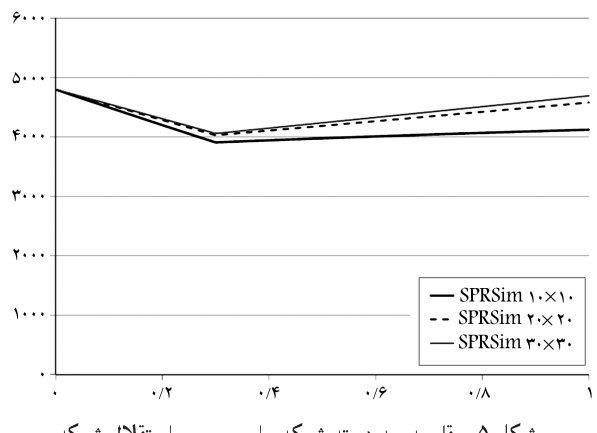
که در آن  $\Delta x$  و  $\Delta y$  ابعاد سلول‌اند و  $k_x$  و  $k_y$  مقادیر نفوذپذیری در راستاهای  $x$  و  $y$  هستند.<sup>[۱۰]</sup>



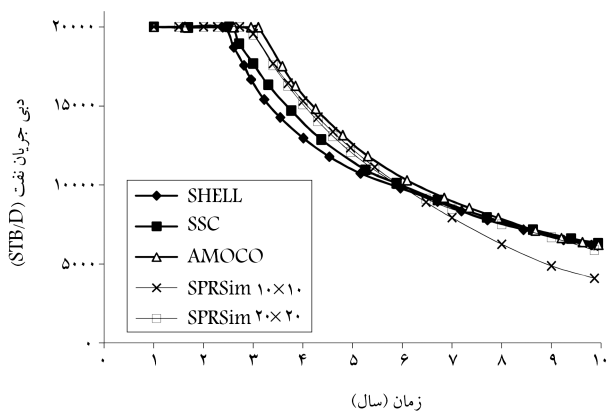
شکل ۳. شبکه‌بندی و قرارگیری چاه‌ها در مخزن.

	چاه تزریق گاز	چاه برداشت
۱ لایه	$\phi: 0.3$ , $H, \text{ft}: 20$ , $K_x: 500$ , $K_y: 500$ , $K_{link}: 50$ , $S_w: 0.12$ , $S_o: 0.88$	
۲ لایه	$\phi: 0.3$ , $H, \text{ft}: 30$ , $K_x: 50$ , $K_y: 50$ , $K_{link}: 25$ , $S_w: 0.12$ , $S_o: 0.88$	
۳ لایه	$\phi: 0.3$ , $H, \text{ft}: 50$ , $K_x: 200$ , $K_y: 200$ , $K_{link}: 25$ , $S_w: 0.12$ , $S_o: 0.88$	

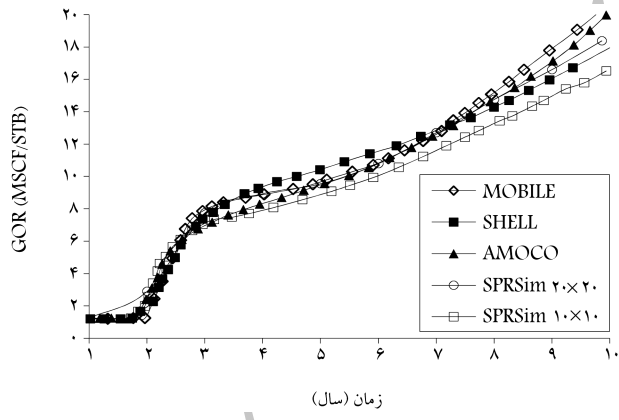
شکل ۴. خصوصیات لایه‌های مختلف مخزن.



شکل ۵. مقایسه سه دسته شبکه برای بررسی استقلال شبکه.



شکل ۶. ناخ برداشت نفت بر حسب زمان.



شکل ۷. نسبت گاز به نفت در خروجی.

به مرور زمان افزایش می‌یابد. همچنین ملاحظه می‌شود که با ریزکردن سلول‌ها دقت نتایج SPRSim بهبود قابل ملاحظه‌بی می‌یابد.

شکل ۸ نشان‌دهنده تغییرات فشار در چاه برداشت در طول زمان است. ملاحظه می‌شود که نتایج به دست آمده از SPRSim با سایر شبیه‌سازی‌ها هم‌خوانی مناسبی دارد. در این نمودار همچنین مشاهده می‌شود که هم‌زمان با شروع برداشت، فشار در چاه برداشت، ابتدا به دلیل خروج نفت از مخزن و افت سریع فشار در انتهای مخزن کاهش می‌یابد. پس از مدت زمان کمی موج فشار که از طرف چاه تزریق با سرعت زیاد در حال حرکت است به چاه برداشت نیز می‌رسد و باعث

جدول ۱. خصوصیات فیزیکی مخزن.

متغیر	واحد	مقدار
فشار اولیه مخزن در ۸۴۰۰ فوت	psia	۴۸۰۰
نحوه تزریق گاز	روز MSCF / روز	۱۰۰
بیشینه نحوه تولید	روز STB / روز	۲۰۰۰۰
کمینه نحوه تولید نفت	روز STB / روز	۱۰۰۰
کمینه فشار ته چاهی	psi	۰/۰۵
بیشینه تغییر درجه اشباع در گام زمانی	-	۰/۰۰۰۰۰۳
تراکم پذیری سنگ مخزن	۱/psi	۱۴/۷
تخلخل در چاه	ft	۰/۳
ضریب صافی سطح	-	۰/۲۵
فشار مویینگی	-	۰
دمای مخزن	F	۲۰۰
وزن مخصوص گاز	-	۰/۰۷۹۲

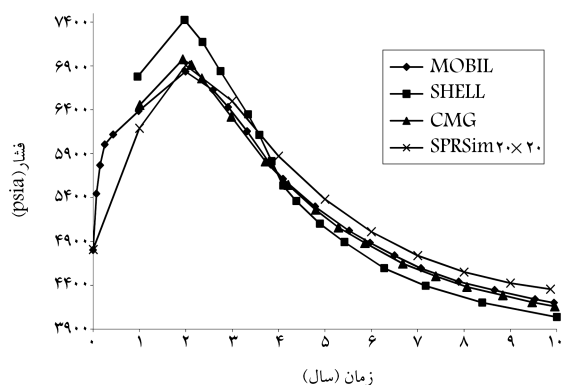
یکبار با این شبکه‌بندی درشت و بار دیگر با شبکه‌بندی ریزتر حل شده است. در زمان شروع عملیات، مخزن دارای درجه حرارت بوده و در شرایط تعادل فوار دارد به طوری که در عمق ۲۵۰ فوتی، فشار آن برابر ۴۸۰ PSI است. همچنین از اثر فشار مویینگی در این مخزن صرف نظر می‌شود. مخزن شامل سه لایه متفاوت است که در شکل ۴ خصوصیات لایه‌های مختلف شامل تخلخل، ضخامت، نفوذپذیری و مقادیر اولیه درجه اشباع نفت و آب در این لایه‌ها ارائه شده است. دهانه چاه تزریق در لایه‌ی بالایی و دهانه چاه برداشت در لایه‌ی پائینی قرار دارد. این مخزن برای مدت زمان ۱۰ سال شبیه‌سازی شده است.

برای بررسی استقلال شبکه از سه دسته شبکه‌ی  $10 \times 10$ ,  $20 \times 20$  و  $30 \times 30$  استفاده شده است. بدین‌منظور، پاسخ به دست آمده از شبکه‌های فشار در چاه برداشت -- در طول یک سال -- در مورد این سه شبکه با هم مقایسه شده است (شکل ۵).

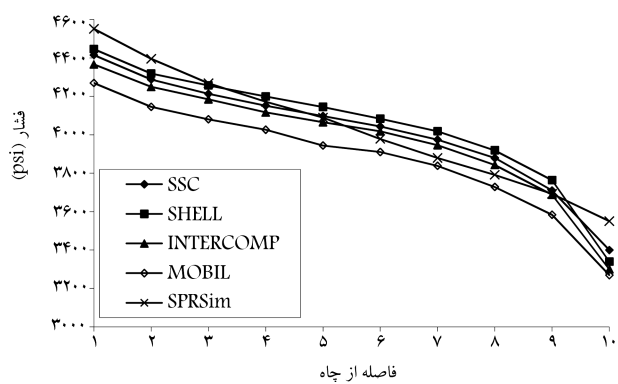
چنان‌که مشاهده می‌شود، اختلاف شبکه‌بندی  $20 \times 20$  و  $30 \times 30$  از توجه به زمان برداشت نفت از مخزن بحسب زمان مقایسه شده است و با توجه به زمان برداشت نفت از شبکه‌ی  $10 \times 10$  در ادامه از شبکه‌های  $20 \times 20$  و  $10 \times 10$  استفاده می‌شود.

در شکل ۶ تغییرات ناخ برداشت نفت از مخزن بحسب زمان مقایسه شده است. در سه سال اول مقدار (STB/MSCF) به طور ثابت برابر باشد و پس از آن تولید کاهش می‌یابد؛ این کاهش تولید به دلیل افت فشار مخزن و ورود گاز تزریقی به چاه برداشت است. همان‌طور که ملاحظه می‌شود، نتایج حاصل از SPRSim به حل به دست آمده از AMOCO نزدیک است ولی حل به دست آمده از شبکه‌ی  $10 \times 10$  از سال ششم به بعد از آن فاصله می‌گیرد. دلیل اختلاف بین حل‌ها را می‌توان به استفاده از مدل ریاضی و روش‌های محاسباتی متفاوت نسبت داد.

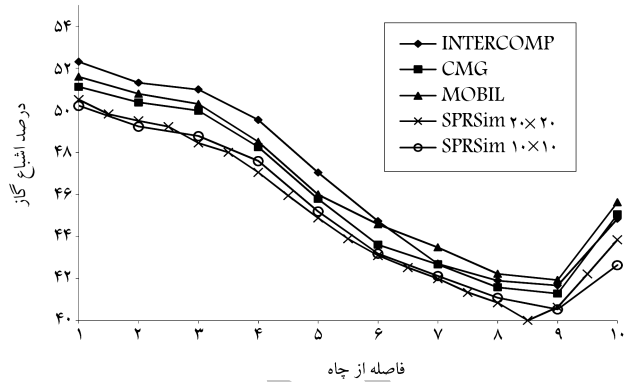
شکل ۷ نشان‌دهنده نسبت گاز به نفت در چاه برداشت است که در این نمودار منظور از GOR، نسبت گاز خارج شده همراه نفت، به نفت برداشت شده از چاه برداشت است. هرچه مقدار GOR بیشتر باشد، بازده فرایند برداشت کم‌تر است. چنان‌که در شکل مشاهده می‌شود، پس از دو سال و هم‌زمان با کاهش فشار در چاه برداشت، با وجود ثابت‌بودن ناخ برداشت مقدار GOR افزایش می‌یابد. بین همه نتایج ارائه شده و اجماله نتایج SPRSim قدری اختلاف مشاهده می‌شود که



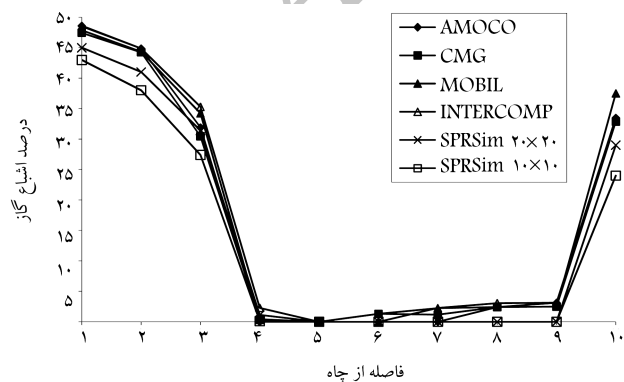
شکل ۱۰. تغییرات فشار در چاه تزریق.



شکل ۱۱. فشار روی قطر در لایه‌ی بالایی مخزن پس از گذشت هشت سال.



شکل ۱۲. درجه‌ی اشباع گاز در لایه‌ی بالایی پس از گذشت هشت سال.



شکل ۱۳. درجه‌ی اشباع گاز در لایه‌ی میانی پس از گذشت هشت سال.

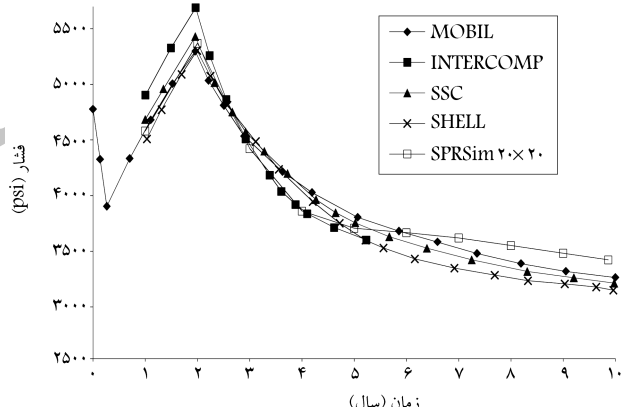
افراشش تدریجی فشار تا سال دوم می‌شود. پس از آن نیز به مرور زمان از فشار کل مخزن و بقیه آن فشار چاه برداشت کم می‌شود.

شکل ۹ نشان‌دهنده‌ی تغییرات درجه‌ی اشباع گاز در چاه برداشت در طول زمان است. نتایج حاصل از SPRSim با سایر شبیه‌سازها هم‌خوانی مناسبی دارد و با ریزکردن اندازه سطوح دقت حل بهتر شده و به جواب‌های به دست آمده از نرم‌افزارهای دیگر نزدیک می‌شود.

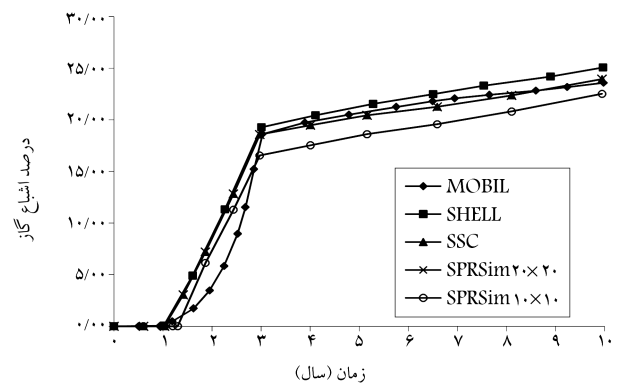
شکل ۱۰ نیز حاکی از تغییرات فشار در چاه تزریق در طول زمان است. رفتار کلی این نمودار مانند نمودار فشار در چاه برداشت است که تنها تفاوت آنها در ابتدای عملیات است. در ابتدای تزریق و برداشت، فشار در حوالی چاه برداشت کم است ولی در حوالی چاه تزریق زیاد می‌شود.

پس از آن که موج فشار به چاه برداشت رسید، فشار کل مخزن تقریباً به صورت هماهنگ تغییر می‌کند ولی فشار نقاط نزدیک به چاه تزریق بدليل وجود جریان در مخزن از نقاط نزدیک به چاه برداشت بیشتر است. این موضوع در شکل ۱۱ به خوبی قابل مشاهده است.

شکل‌های ۱۲ و ۱۳ به ترتیب نشان‌دهنده‌ی تغییرات درجه‌ی اشباع گاز در امتداد قطره مخزن در لایه‌ی بالایی و در لایه‌ی میانی پس از گذشت هشت سال از شروع تزریق هستند. مقایسه‌ی این شکل‌ها نشان می‌دهد که در لایه‌ی میانی مخزن، نفوذ گاز بسیار کم است و بیشتر نفوذ گاز به سمت چاه برداشت از لایه‌ی بالایی مخزن انجام می‌شود. عمل این امر تأثیر نیروی گرانش بر حرکت نفت و گاز است. نفت که سیالی سنگین‌تر است به سمت پایین و گاز که سبک‌تر است به سمت بالا رانده می‌شود. در نزدیکی چاه برداشت نیز گاز به سمت بالایی مخزن حرکت



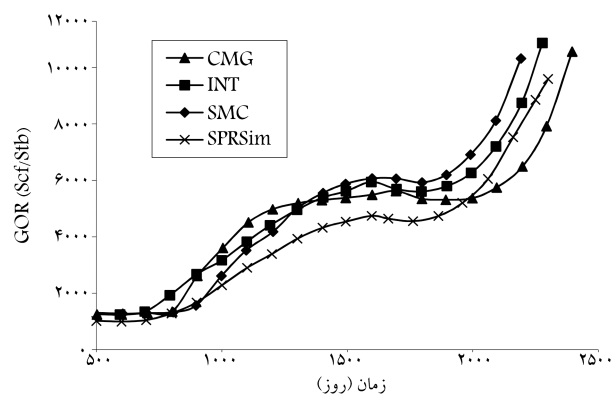
شکل ۸. تغییرات فشار در چاه برداشت.



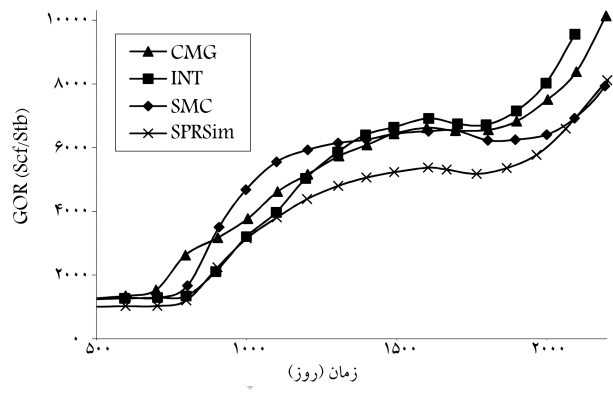
شکل ۹. تغییرات درجه‌ی اشباع گاز در چاه برداشت.

جدول ۲. خصوصیات فیزیکی مسئله.

مقادیر	واحد	متغیر
۴۸۰۰	psia	فشار اولیهی مخزن در ۰ ۸۴۰۰ فوت
۱۲/۵	MSCF/روز	نرخ تزریق گاز
۱۸۷۵	STB/روز	بیشینه نرخ تولید برای هر چاه تولیدکننده
۱۰۰	STB/روز	کمینه نرخ تولید نفت برای هر چاه تولیدکننده
۱۰۰۰	psi	کمینه فشار نهضت چاهی برای هر چاه تولیدکننده
۰,۰۰۰۰۰۳	۱/psi	تراکم پذیری سنگ مخزن
۰,۳	-	تخلخل در psi
۰,۲۵	ft	شعاع دهانه چاه
۰	-	ضریب صافی سطح
۰	-	فشار مویننگی
۲۰۰	F	دما مخزن
۰,۷۹۲	-	وزن مخصوص گاز



شکل ۱۶. نسبت گاز به نفت در چاه برداشت ۱.



شکل ۱۷. نسبت گاز به نفت در چاه برداشت ۲.

برهم می‌خورد و GOR مجدداً سیر صعودی خود را ادامه می‌دهد. این موضوع از نمودار مربوط به فشار نیز بیداشت و چنان که در شکل ۱۸ نیز مشاهده می‌شود با افزایش GOR و خروج گاز از میدان فشار نه چاه برداشت ۱ پس از گذشت ۷۰۰ روز رو به کاهش می‌گذارد.

در این مسئله مخزن خالی از آب فرض شده است، و در حالی که در شبیه‌ساز SPRSim درجه‌ی اشباع اولیه‌ی آب معادل دوازده‌صدم در نظر گرفته شده است، چون این مقدار از مقدار آب قابل تحرک کمتر است، پس در سراسر مخزن این مقدار

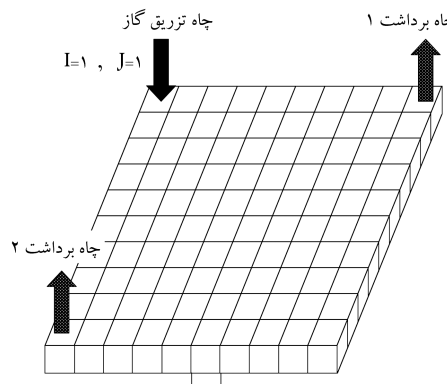
می‌کند و چون در این ناحیه جریانی وجود ندارد، در آنجا مقداری گاز انباشته می‌شود.

چنان که مشاهده شد، جواب‌های به دست آمده برای شبکه‌بندی  $3 \times 3 \times 10$  به جواب‌های ارائه شده در SPE-۱ نزدیک‌اند ولی برای دقت بیشتر، یک بار دیگر مسئله با شبکه‌بندی  $3 \times 3 \times 20$  حل شد که حاکی از نزدیک‌تر شدن جواب‌ها به جواب‌های دیگر نرم‌افزارها است. لازم به ذکر است که فشارها در دو حالت مختلف شبکه‌بندی یکسان به دست آمدند. همان‌طور که در شکل‌ها مشاهده می‌شود، جواب‌های ارائه شده از سوی شرکت‌های مختلف با یکدیگر اختلاف دارند، و متأسفانه ابرازی برای تشخیص جواب برتر وجود ندارد. ولی اگر میانگین نمودارها را جواب مسئله در نظر بگیریم، می‌توان گفت که با ریزکردن شبکه‌بندی جواب‌های SPRSim به سایر جواب‌ها بسیار نزدیک است.

### ب) مسئله‌ی نمونه‌ی مخزن واقعی SPE-۸

به عنوان دومین مسئله‌ی نمونه، برداشت نفت در اثر تزریق گاز به داخل یک مخزن با ابعاد واقعی و مملو از نفت بررسی می‌شود. تشوییح کامل این مسئله و نتایج شبیه‌سازی‌های شرکت‌های مختلف در دسترس است.<sup>[۱۱]</sup> در شکل‌های ۱۴ و ۱۵، اطلاعات مخزن — شامل خصوصیات لایه‌های مختلف، موقعیت چاه‌ها و شبکه‌بندی هندسه‌ی مسئله — ارائه شده است.

شکل‌های ۱۶ و ۱۷ نسبت گاز به نفت را در چاه‌های برداشت ۱ و ۲ به نمایش می‌گذارند که در آنها نتایج شبیه‌ساز SPRSim با نتایج سه شبیه‌ساز CMG، INT و SMC مقایسه شده‌اند. چنان که مشاهده می‌شود، پس از گذشت ۷۰۰ روز از آغاز شبیه‌سازی، با نزدیک‌تر شدن جبهه‌ی گاز به چاه‌های برداشت مقدار GOR در خروجی‌ها رو به افزایش است و پس از حدود ۶۰۰ روز دیگر به حالت تعادل می‌رسد. اما این تعادل نیز با افزایش نسبی خروج نفت از میدان، به طور محسوس

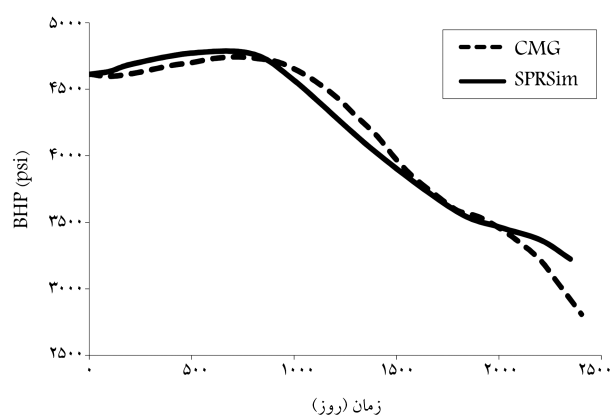


شکل ۱۴. شبکه‌بندی و قرارگیری چاه‌ها در مخزن.

چاه تزریق گاز	چاه برداشت ۱						چاه برداشت ۲
$\phi$	H, ft	K, md	S <sub>g</sub>	S <sub>o</sub>			
۰.۲۰	۲۵	۵۰	۰/۰	۱/۰			
۰.۲۰	۷۵	۵۰	۰/۰	۱/۰			
۰.۲۰	۷۵	۲۰	۰/۰	۱/۰			
۰.۱۰	۱۵	۱۰	۰/۰	۱/۰			
							۸۷۰ ft
							۸۳۷۵ ft
							۸۳۲۵ ft

شکل ۱۵. خصوصیات لایه‌های مختلف.

می شوند. به علاوه، معادلات فشار و سرعت به صورت کوپل حل می شوند تا از بروز خطاهای عددی ناشی از تضعیف وابستگی متغیرها به هم جلوگیری شود. روش مورد استفاده در شبیه‌ساز SPRSim نمونه‌ی از این روش‌ها است. پایداری عددی مزیت عمده‌ی این روش‌هاست. در مقابل به دلیل حجم بالای محاسبات و مصرف حافظه‌ی زیاد و کندبودن، تقیباً همیشه به عنوان آخرین انتخاب و هنگامی که روش‌های برای جواب نمی‌دهند، مورد استفاده قرار می‌گیرند. در گام بعدی باید روش‌های برای کاهش هزینه‌ی محاسباتی این روش اندیشه شود تا راه برای استفاده از آن در مسائل واقعی که مسلماً جریان پیچیده‌تر بوده و نیاز به شبکه‌ی محاسباتی بزرگ‌تری دارند، هموار شود. در روش به کار رفته در این نوشتار همچنین تعداد محاسبات مورد نیاز در هر تکرار بالاست که این موضوع سرعت شبیه‌سازی را کاهش داده و موجب افزایش زمان پردازش می‌شود.



شکل ۱۸. فشارته چاه برداشت ۱.

## فهرست علامت

$A$ : ضریب گذردگی

$B_m$ : ضریب تغییر حجم فاز

$B_{do}$ : ضریب تغییر حجم نفت بدون گاز

$B_{so}^*$ : ضریب تغییر حجم نفت اشباع

$B_{do}^*$ : ضریب تغییر حجم نفت بدون گاز

$b_w$ : معکوس ضریب تغییر حجم فاز آب

$c_\phi$ : ضریب تراکم پذیری سنگ مخزن

$D$ : عمق

$g$ : گرانش زمین

$K$ : نفوذپذیری مطلق

$k_{rm}$ : نفوذپذیری نسبی فاز

$M$ : غلظت جز

$m$ : فشار فاز

$P_{ew}$ : فشار موینگی بین آب و نفت

$P_{ego}$ : فشار موینگی بین آب و گاز

$M$ : دبی برداشت یا تریق جز

$R_o$ : نسبت گاز به نفت

$R_{so}$ : نسبت حل شدن گاز در نفت اشباع

$S_w$ : درجه‌ی اشباع فاز

$t$ : زمان

$M$ : سرعت جز

$V_{ijk}$ : حجم سلول

علامت یونانی

$\mu_m$ : لزجت فاز

$\rho_m$ : چگالی فاز

$\rho_{GS}$ : چگالی گاز در شرایط استاندارد

$\rho_{OS}$ : چگالی نفت در شرایط استاندارد

$\rho_{WS}$ : چگالی آب در شرایط استاندارد

$\phi$ : ضریب تخلخل

$\phi$ : ضریب تخلخل در فشار صفر

$\lambda_m$ : ضریب حرک فاز

## نتیجه‌گیری

روشی که در طی این نوشتار برای شبیه‌سازی مخزن به کار گرفته شده دارای نقاط ضعف و قوتی است. از جمله نقاط ضعف روش به کار رفته می‌توان به حجم بالای حافظه‌ی مورد نیاز برای شکل‌گیری و حل دستگاه‌های معادلات اشاره کرد که نیازمند رایانه‌ی با حافظه‌ی نسبتاً بالاست. مثلاً برای مسئله‌ی با شبکه‌بندي  $20 \times 20 \times 10$  رایانه‌ی با حافظه‌ی یک گیگابایت مورد نیاز است.

یک دیگر از ضعف‌های مدل به کار رفته در این نوشتار ضروری بودن وجود فاز آب در میدان است. در واقع اگر درجه‌ی اشباع آب در نقطه‌ی از میدان صفر باشد، شبیه‌سازی با مشکل مواجه می‌شود. این مسئله به خاطر نوع فرمول بندهی است که چنین اجازه‌ی را نمی‌دهد. درجه‌ی اشباع صفر برای آب، منجر به ایجاد جملات بی‌نهایت بزرگ شده و دستگاه معادلات غیرخطی به دست آمده را ناپایدار می‌سازد. البته این موضوع در مدل‌های واقعی هرگز اتفاق نمی‌افتد، زیرا با وجود فشار موینگی درجه‌ی اشباع آب به صفر نخواهد رسید و همواره در مقدار باقی مانده محدود می‌شود. اما این شبیه‌سازی تمایز می‌کند. از مهم‌ترین این مزایا حل جریان در محیط‌های با تغییرات شدید در خواص شامل نفوذپذیری و تخلخل است. به طور مثال روش به کار رفته برای شبیه‌سازی میدان‌های با موانع نفوذناپذیر مناسب‌تر است.

به تأیید مطالعات قبلی، روش IMPES در مقایسه با روش متوالی برای تحلیل مدل نفت سیاه جواب مناسبی به دست نمی‌دهد. علت این امر وجود جملات غیرخطی قوی در مدل فیزیکی مسئله است که با محاسبه‌ی ضرایب حرک به صورت صریح، این واسطگی در حل تضعیف می‌شود. با این حال در مواردی که مخزن در حالت اشباع است و فاز بخار وجود دارد، جواب روش متوالی دقت مناسبی ندارد و روش IMPES مناسب‌تر است.

در روش‌های حل همزمان تمامی جملات غیرخطی به صورت ضمئی محاسبه

## پابنوهت

1. implicit pressure explicit saturation (IMPES)
2. Stock Tank Cubic Foot
3. Stock Tank Barrel

## منابع

1. Aziz, K. and Settari, A., *Petroleum Reservoir Simulation*, Applied Science Publishers, London and New York, First Edition (1979).
2. Peaceman, D.W., *Fundamentals Of Numerical Reservoir Simulation*, Elsevier Scientific Publishing Company, Amsterdam-Oxford-New York, first edition (1977).
3. Firoozabadi, A. and Karimifard, M., *Mathematical and Numerical Methods for Reservoir Fluid Flow*, Society Petroleum Engineering, Richardson, Texas (2001).
4. Bell, J.; Shubin, G. and Trangenstein, J. "A method for reducing numerical dispersion in two-phase black-oil reservoir simulation", *Journal of Computational Physics*, **65**(1), pp. 71-106 (1986).
5. Jenny, P.; Lee, S.H. and Tchelepi, H.A. "Adaptive fully implicit multi-scale finite-volume method for multiphase flow and transport in heterogeneous porous media", *Journal of Computational Physics*, **217**(2), pp. 627-641 (2006).
6. Helmig, R., *Multiphase Flows and Transport Processes in the Subsurface: A Contribution to the Modelling of Hydro Systems*, Springer, Berlin, Heidelberg, New York (1997).
7. Firoozabadi, A. and Karimifard, M., *Mathematical and Numerical Methods for Reservoir Fluid Flow*, Society Petroleum Engineering, Richardson, Texas (2001).
8. Bergamaschi, L.; Mantica, S. and Manzini, G. "A mixed finite element-finite volume formulation of the black-oil model", *SIAM Journal on Scientific Computing*, **20**(3), pp. 970-997 (1999).
9. Riviere, B. "Numerical study of discontinuous galerkin method for incompressible two-phase flow", *Journal of Computer and Fluids*, **34**, pp. 491-506 (2004).
10. Lu, Q.; Peszynska, M. and Gai, X., *Implicit Black-Oil Model in IPARS Framework*, Computational and Applied Mathematics, University of Texas at Austin (2001).
11. Odeh, A.S. "Comparison of solutions to a three-dimensional black-oil reservoir simulation problem", Paper SPE 9723 (1981).
12. Quandalle, P., *Eighth SPE Comparative Solution Project Griding Techniques in Reservoir Simulation*, Paper SPE 25263, 12th SPE Symposium on Reservoir Simulation, New Orleans, LA, U.S.A. (1993).